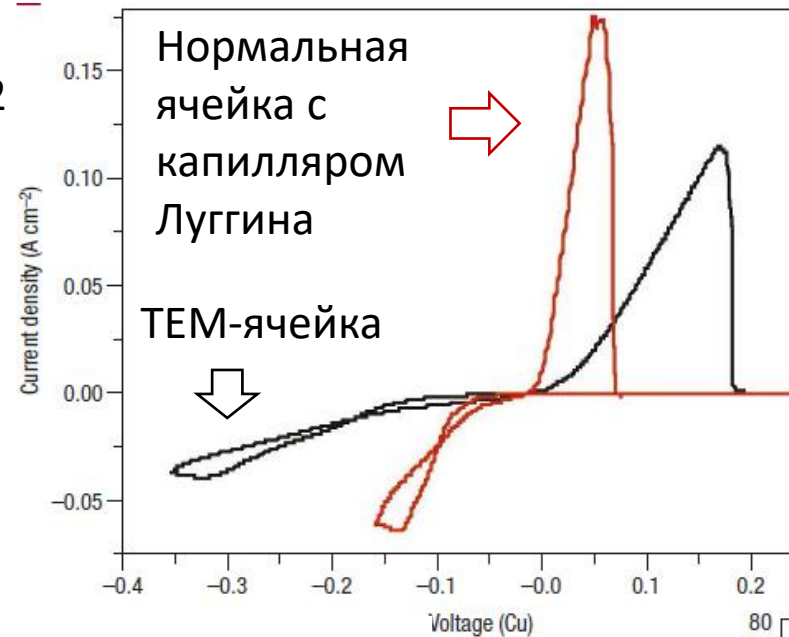


продолжение

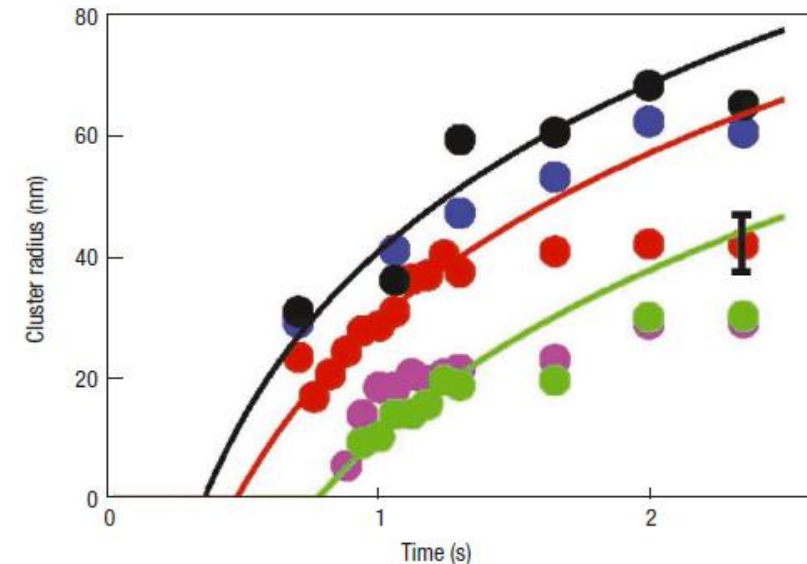
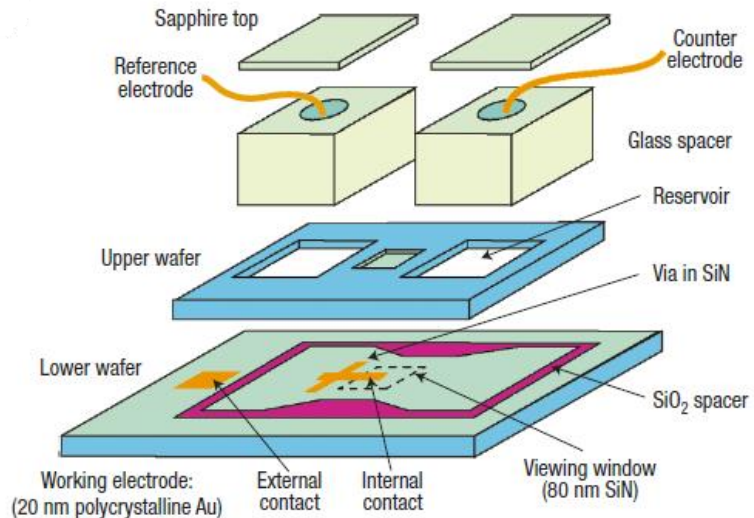
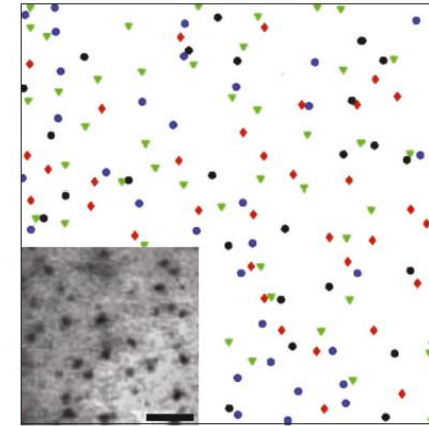
В жидкости может быть, с некоторыми ограничениями, реализована **электронная микроскопия** (обзоры Nature Nanotechnol. 6 (2011) 695-704, ACS Omega 6 (2021) 6537–6546)

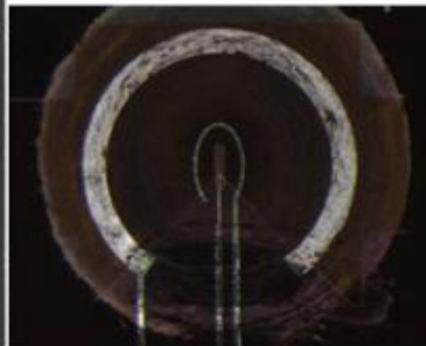
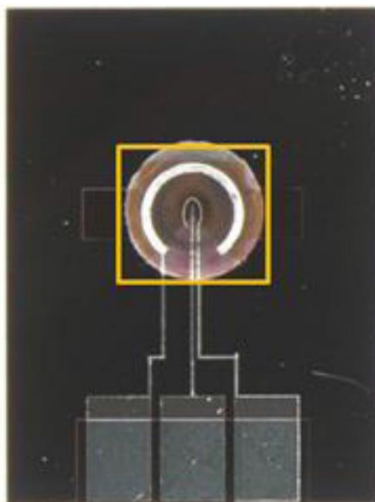
In situ TEM – нуклеация меди на золоте

Nature Mater. 2 (2003) 532



Места образования зародышей в независимых экспериментах (разные цвета)

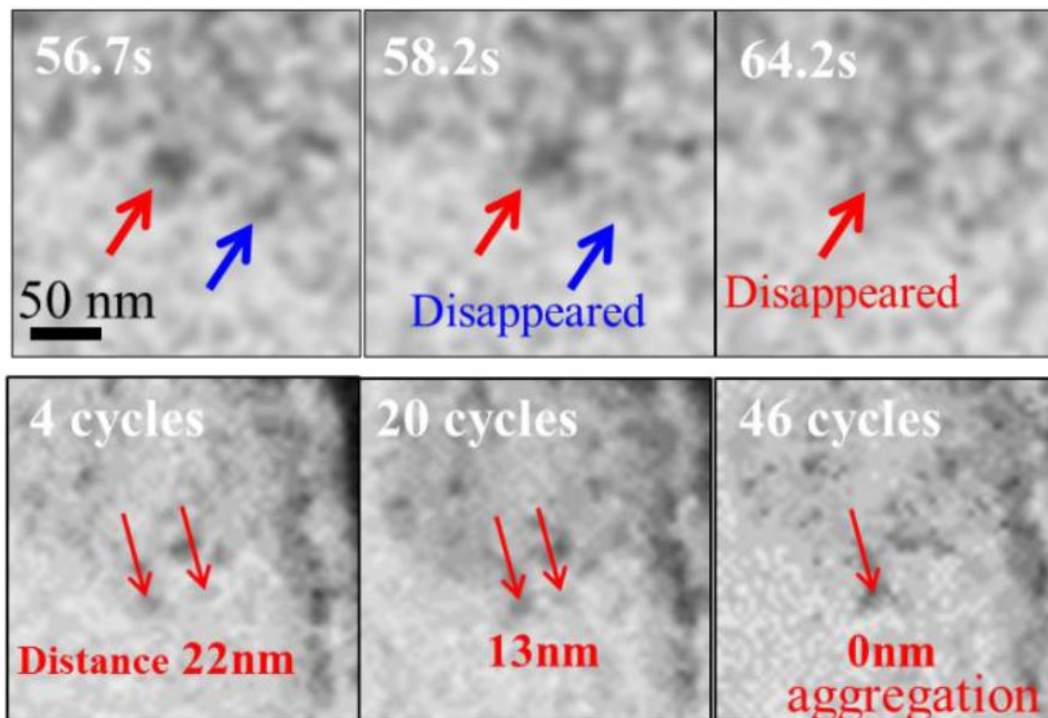




Коммерческий
трехэлектродный
чип

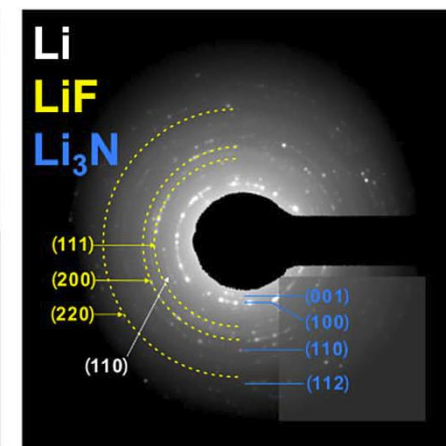
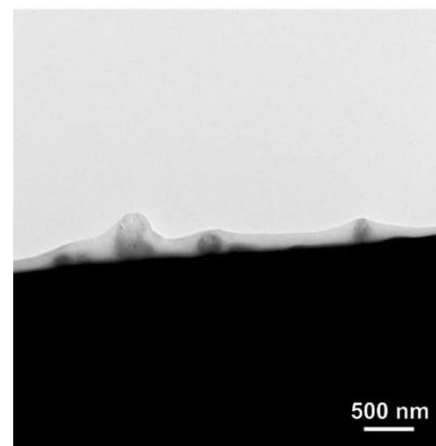
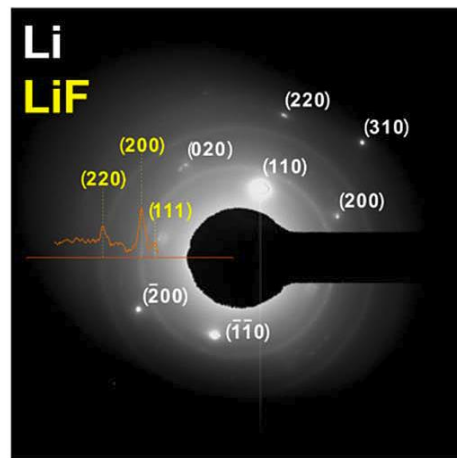
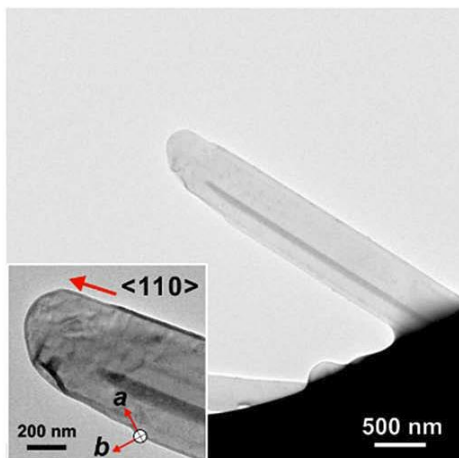
SAE Int. J. Alt. Power 5 (2016) 189-194

Деградация Pt катализатора (топливный элемент)



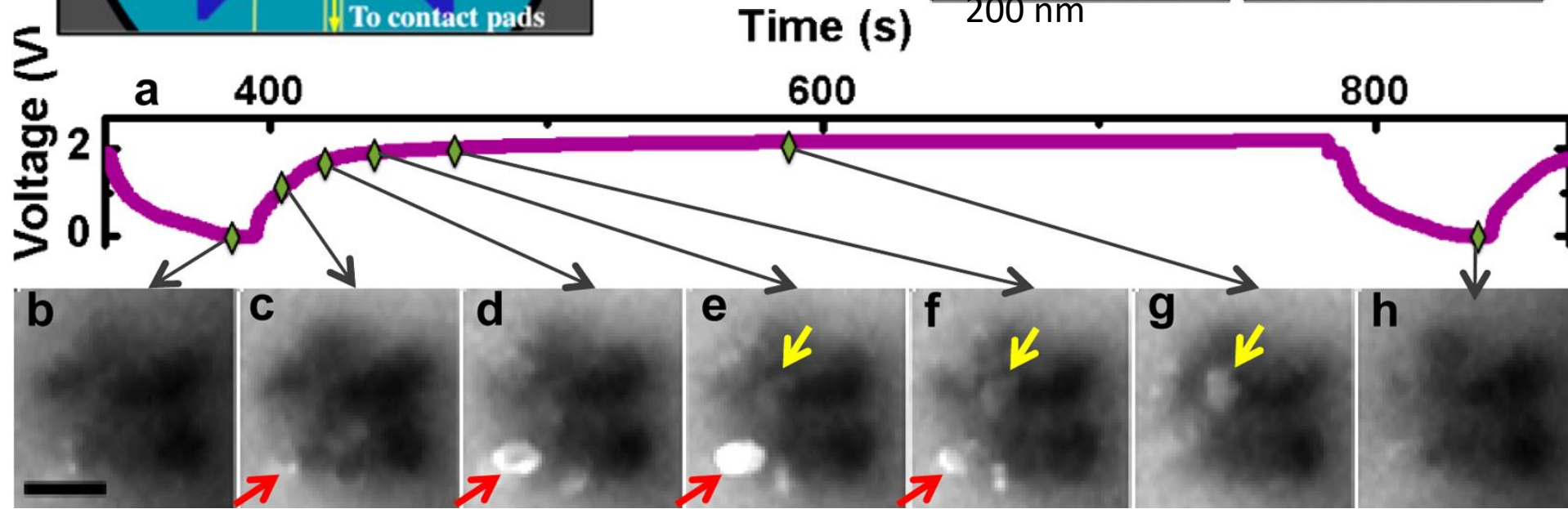
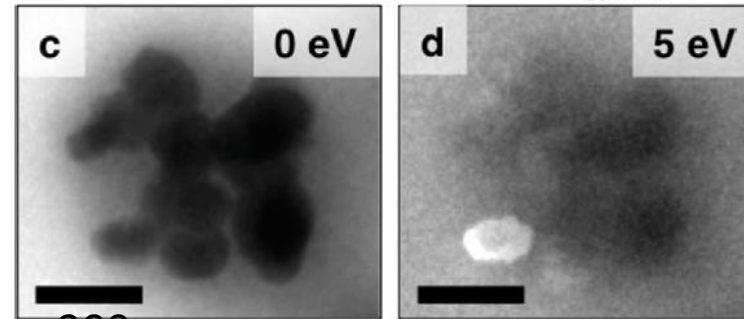
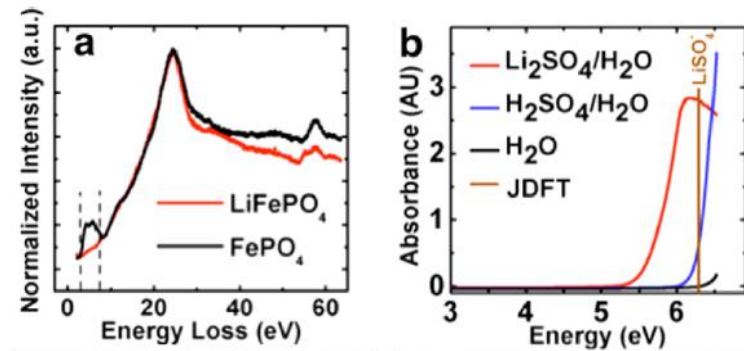
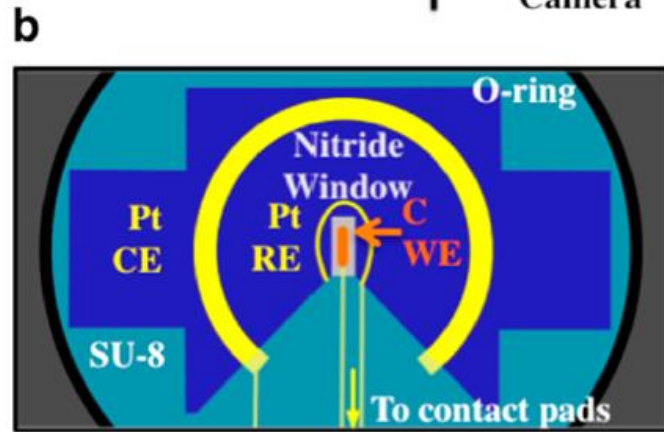
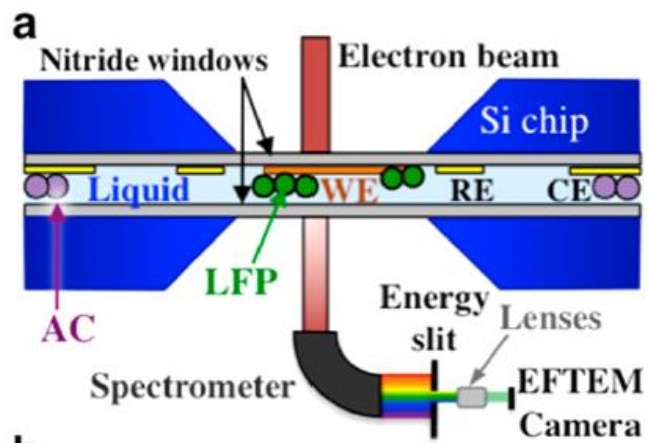
Рост литиевых дендритов

Small Struct. 2 (2021) No 2100018

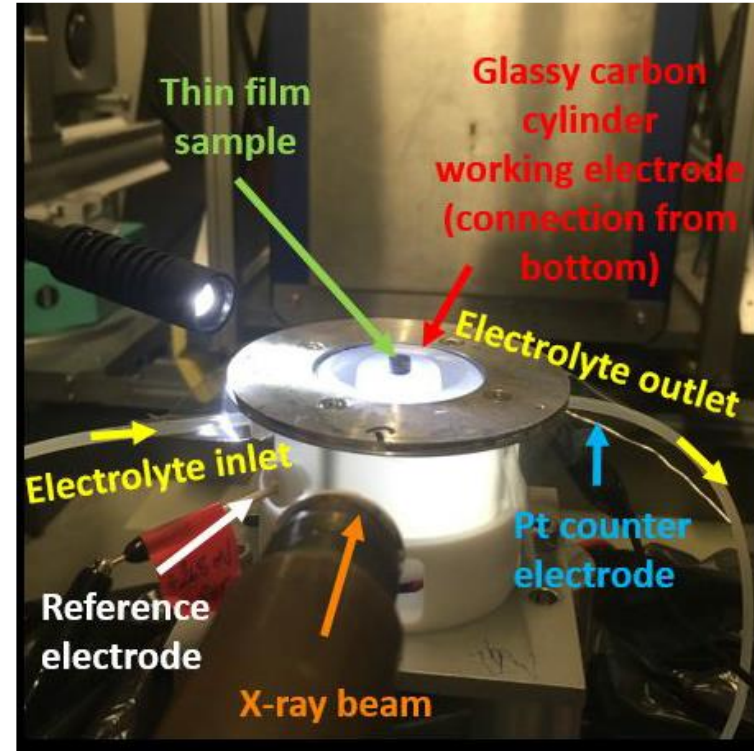
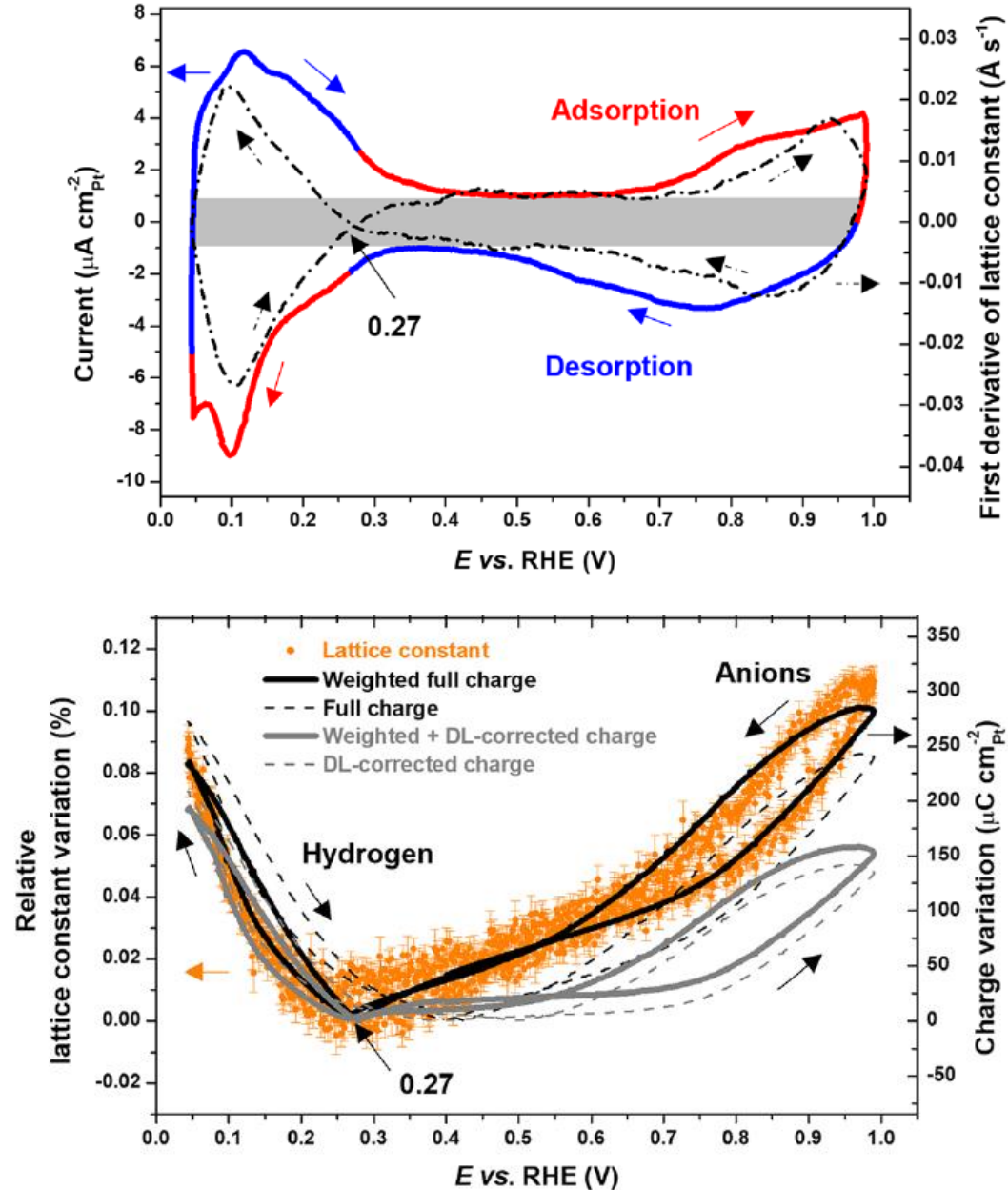


Energy-filtered TEM: $\text{FePO}_4/\text{LiFePO}_4$

Nano Lett.
14 (2014) 1453-1459

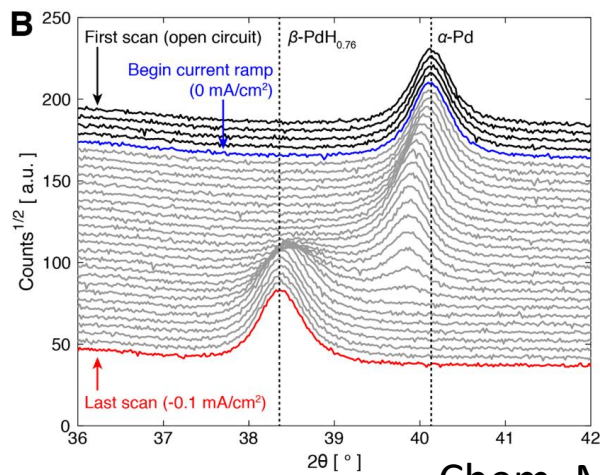
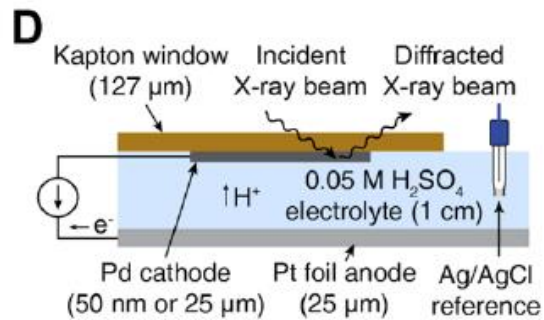
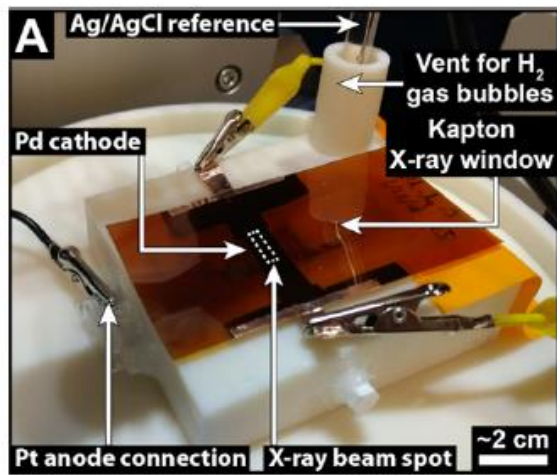


In situ рентгеновская дифракция (синхротронное излучение)

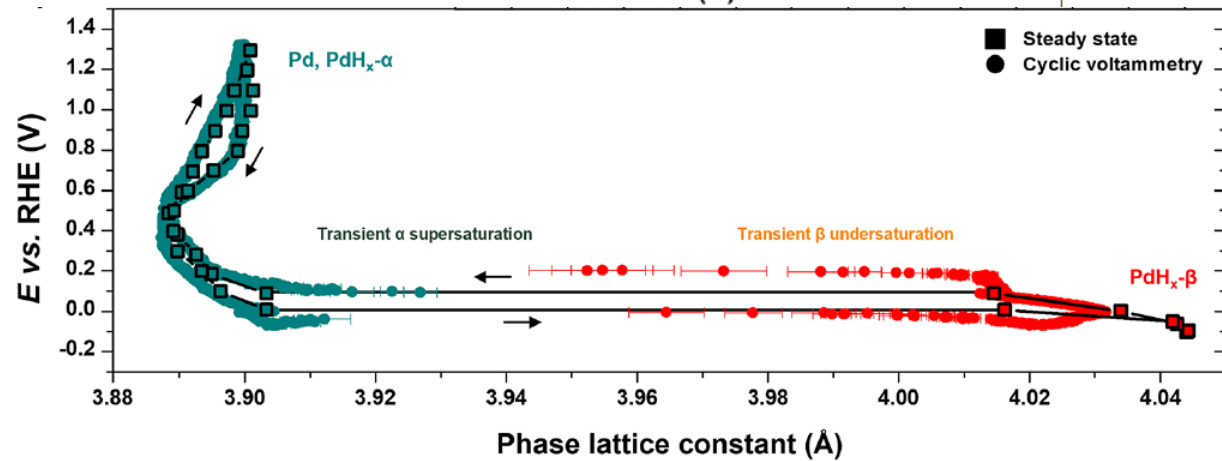
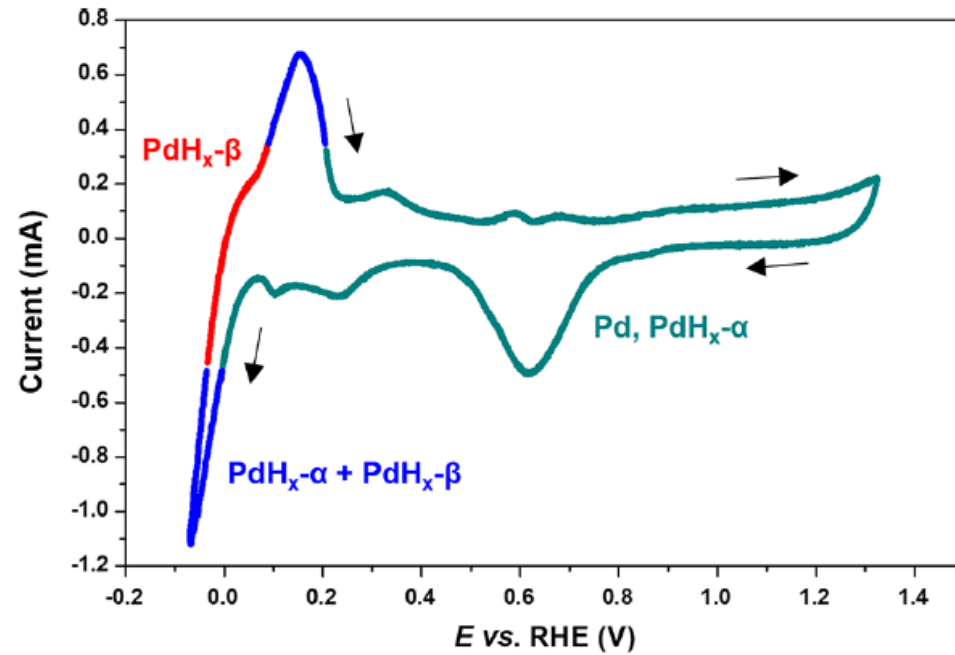


Изменение параметра решетки Pt (малые частицы на подложке) с потенциалом

J. Amer. Chem. Soc. 143 (2021)
17068 - 17078

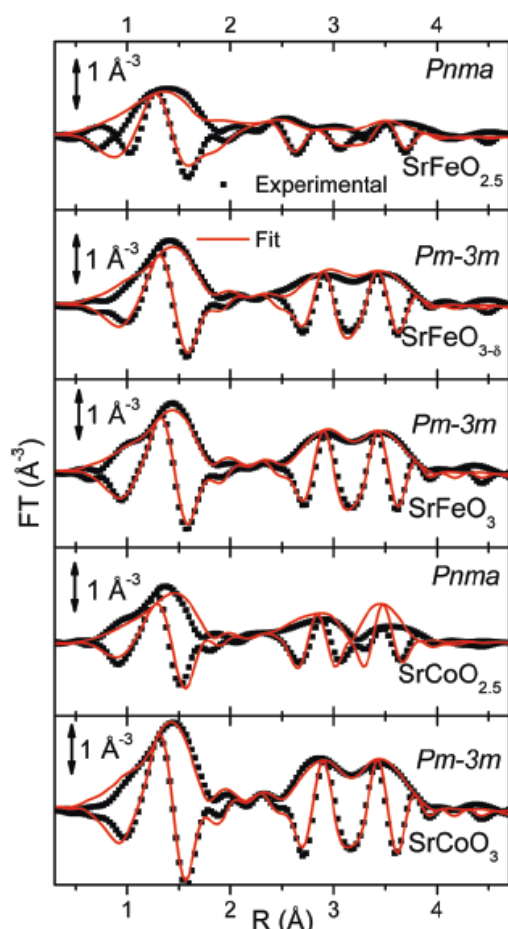


Фазовый переход в системе Pd-H

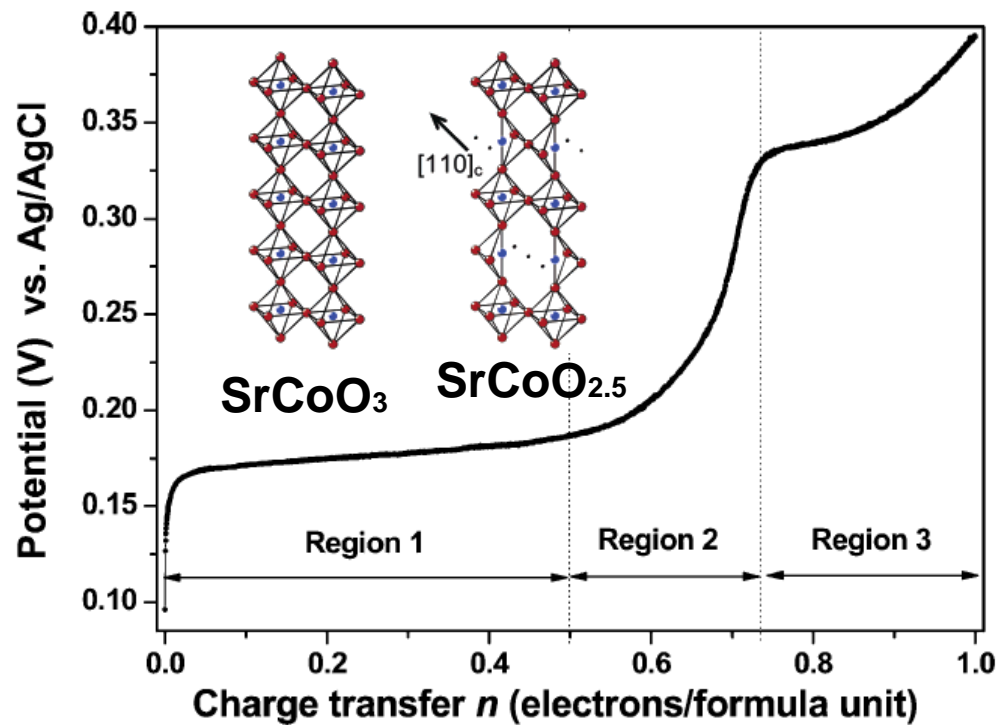


J. Amer. Chem. Soc. 143 (2021) 17068 - 17078

Chem. Mater. 31 (2019) 4234-4245

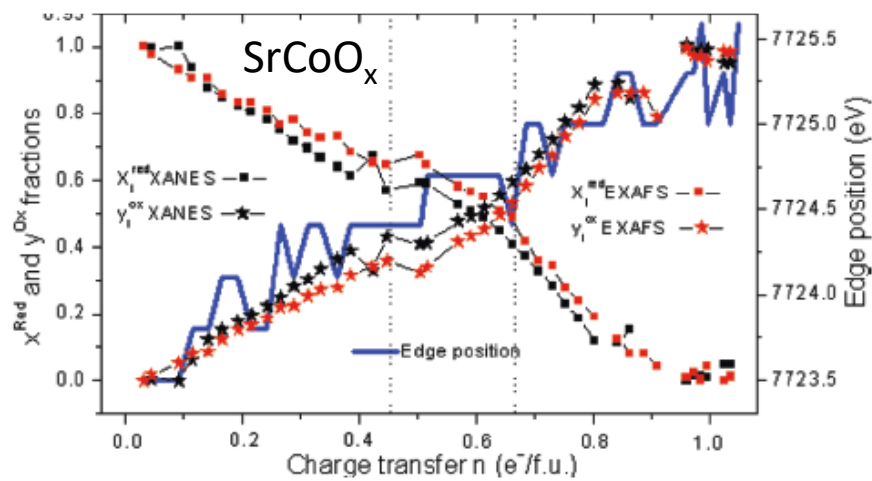
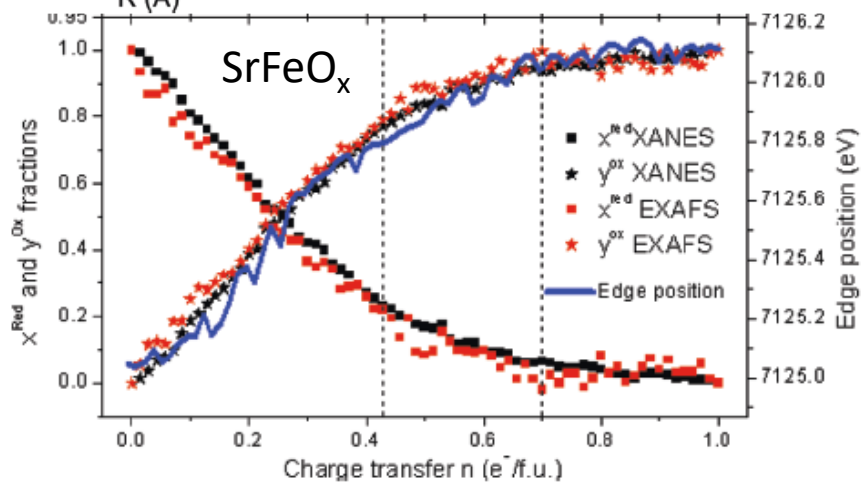


**Кислородная
стехиометрия**

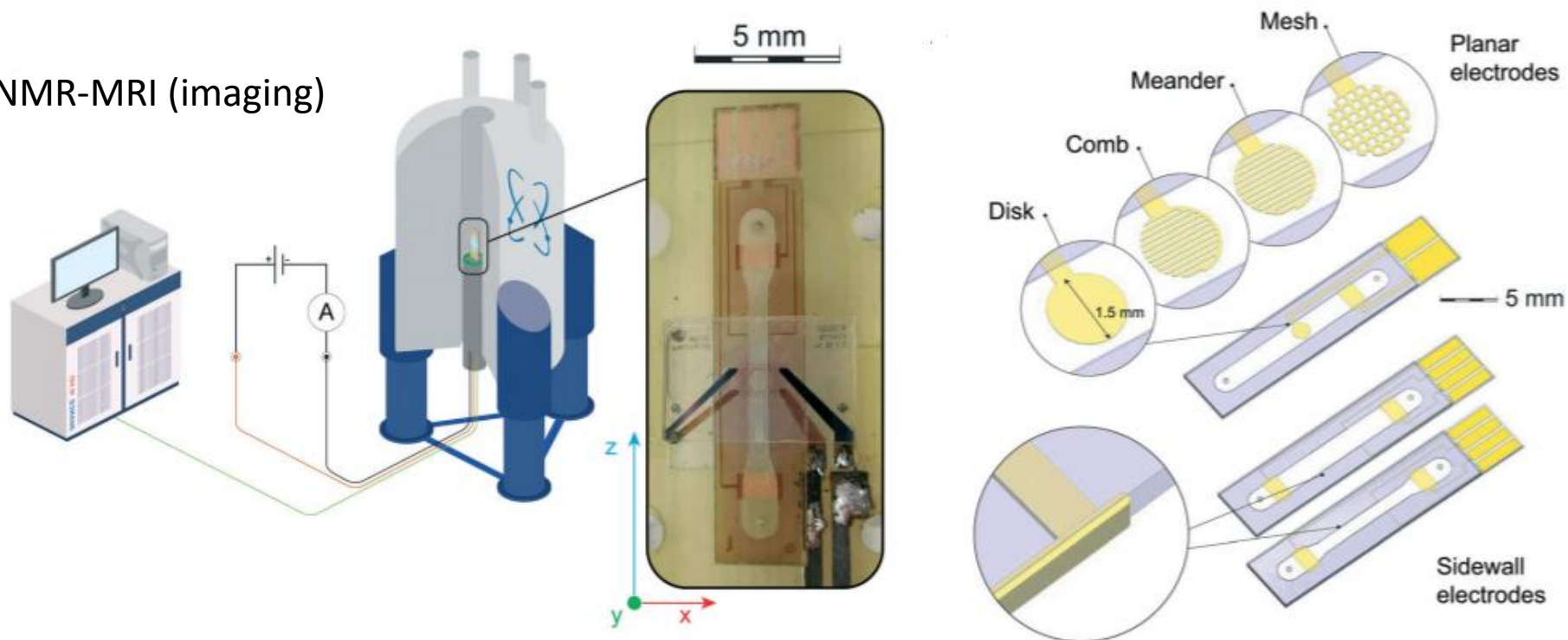


J. Amer. Chem. Soc. 128 (2006) 13161-13174

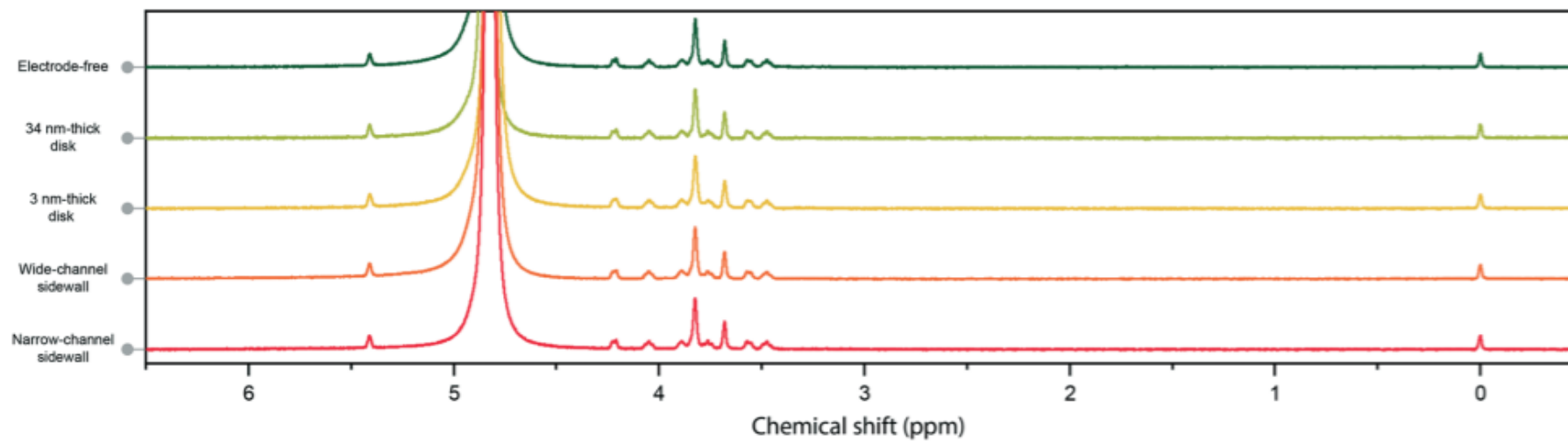
J. Phys. Chem. C 115 (2011) 1311-1322

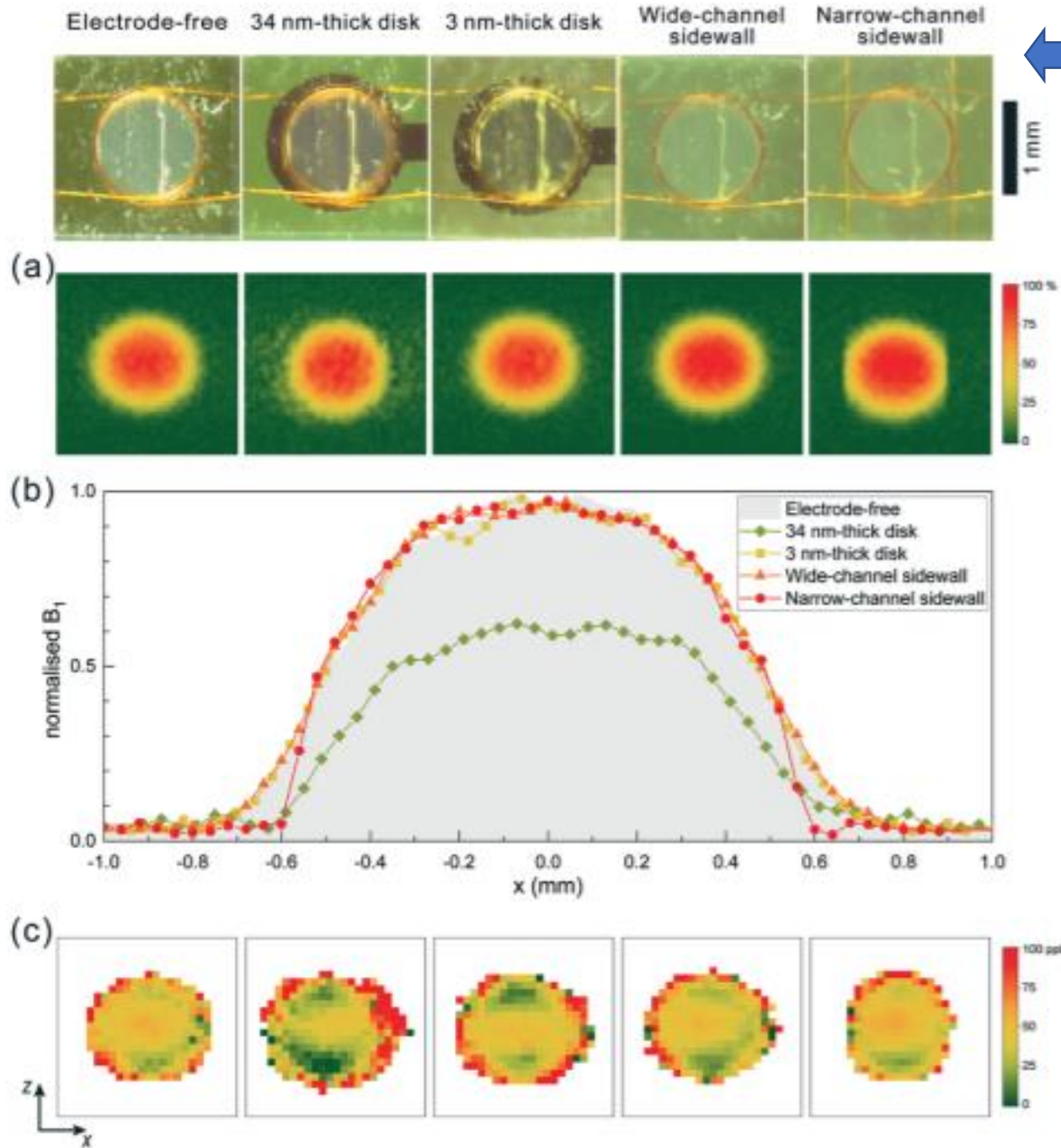


NMR-MRI (imaging)

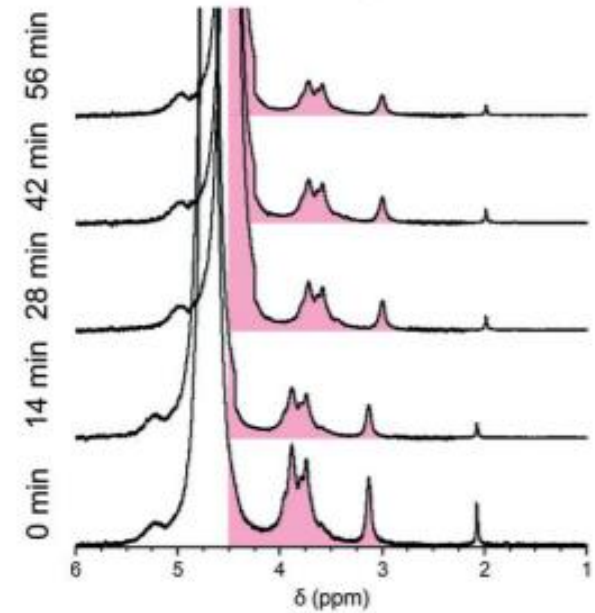


Тестовый реагент: 3-(trimethylsilyl)-propionic acid





Распределение поля в канале



Мониторинг
(время регистрации спектра 9 мин)